

بررسی آثار تابش لیزر کم توان گالیوم - آلمینیوم - آرسناید (۸۳۰ نانومتر) بر خصوصیات کیفی و فراساختاری اپیتلیوم مجاری منی ساز

✉ مقصوده فخرطه.^{*} M.Sc., مجتبی رضازاده و لوجردی.^{*} Ph.D., تقی طربی.

* گروه علوم تشریح دانشگاه تربیت مدرس

تاریخ وصول: آذر ماه ۸۱. تاریخ پذیرش: بهمن ماه ۸۱

چکیده

هدف: بررسی تغییرات کیفی اپیتلیوم مجاری منی ساز پس از تابش لیزر گالیوم - آلمینیوم - آرسناید ۸۳۰ نانومتر مواد و روشها: روش‌های شست روزه نژاد Sprague - Dawley به طور تصادفی در گروههای کنترل، تجربی ۱ و تجربی ۲ توزیع شدند. قطب تحتنی بیضه‌های چپ تراشیده شده، شسته و علامت‌گذاری شد و طی ۱۵ روز در معرض تابش لیزر قرار گرفت. مجموع دانسته‌های انرژی در این گروهها به ترتیب 0.05 J/cm^2 و 0.08 J/cm^2 بود. نمونه‌ها ۲۴ ساعت پس از آخرین جلسه تابش برداشته شدند و پس از تثبیت در گلوله‌ای $2/5$ درصد و طی مراحل آماده‌سازی بافتی، با تهیه مقاطع نازک و فوق نازک برای بررسی با میکروسکوپ نوری و الکترونی آماده شدند.

یافته‌ها: در گروه تابشی 0.05 J/cm^2 روند اسپرماتوژن طبیعی و فراساختار کلیه سلولها مانند گروه کنترل بود، اما در گروه تابشی 0.08 J/cm^2 تغییرات کیفی وسیعی در اپیتلیوم به صورت ضخیم و نامنظم شدگی تیغه قاعده‌ای، واکتو لیزیشن و بروز کلاسترها لیزوژوم در سلولهای سرتولی، ریزش سلولهای جنسی نابالغ، اختلال در مراحل تکامل اسپرماتید و افزایش در اسپرماتیدهای دزنه و گامت‌های غیرطبیعی بروز کرد.

نتیجه‌گیری: تابش دوزهای پایین لیزر مسبب آثار تحریکی در روند اسپرماتوژن و افزایش سلولهای جنسی با فراساختار طبیعی است، در حالی که دوزهای بالاتر از آستانه تحریک زیستی سبب بروز ضایعات مشخصی در تکامل اسپرماتوژن شده، یک عامل مخرب در اسپرماتوژن محسوب می‌شود.

واژه‌های کلیدی: اپیتلیوم مجرای منی ساز، تابش لیزر، گالیوم - آلمینیوم - آرسناید (۸۳۰ نانومتر)، تغییرات کیفی، فراساختار

مقدمه

با وجود پیشرفت‌های اخیر لیزر درمانی مطالعات انجام شده در خصوص تأثیر تابش لیزر بر سیستم تناسلی و به خصوص روند اسپرماتوژن بسیار محدودند. از طرفی مطالعات بیشتر جنبه *in vitro* داشته و مطالعات *in vivo* کمی در دسترس است. مطالعات *in vitro* در زمینه تأثیر بیولوژیک لیزر کم توان، نشان می‌دهد که پس از تابش لیزر تحرک کلی اسپرم افزایش می‌یابد [۵، ۶ و ۷]. شواهدی نیز وجود دارد که نشان می‌دهد تابش لیزر در محیط کشت سبب تسریع انتقال کلسیم در سلولهای اسپرم شده، موجب تغییراتی در غلظت کلسیم

تابش لیزر سبب القای آثاری بر ساختمانهای بیولوژیک مختلف می‌شود [۱]. از جمله گزارشها و شواهد آزمایشگاهی در مورد آثار بیولوژیک و فیزیولوژیک اشعه لیزر شامل اثرهای Photobiomodulatory تابش لیزر روی تزايد سلولی و تحریک رشد سلولی در بافت‌هایی از قبیل پیوندی، تاندون و استخوان [۲ و ۳] و افزایش و تسریع در سنتز پروتئین، ATP و RNA و DNA [۴] است.

آدرس مکاتبه: تهران، دانشگاه تربیت مدرس، گروه علوم تشریح، صندوق پستی ۱۴۱۱۵-۱۱۱ Email: Thah_TWU73@yahoo.com

روزه نژاد Sprague-Dawley انتخاب و به طور تصادفی در گروههای شاهد، تجربی ۱ و تجربی ۲ توزیع شدند و در تمام طول دوره تحقیق تحت شرایط یکسان و استاندارد نور، تهویه، تغذیه و دما قرار گرفتند.

دستگاه مورد استفاده در این بررسی یک لیزر دیودی گالیوم - آلمینیوم - آرسناید مدل - Endolaser، 476، Enraf Nonius ساخت هلند و کالبیره شده توسط شرکت سپهران بود. خصوصیات کامل دستگاه در جدول زیر خلاصه شده است.

جدول ۱. خصوصیات دستگاه لیزر مورد استفاده

ابود نیمه هدایتی گالیوم-آلومینیوم - آرسناید ۸۳۰ نانومتر	نام دستگاه و طول موج پرتو
ماکریمم قدرت خروجی دستگاه ۳۰ میلیوات	ماکریمم قدرت خروجی دستگاه
۲۵٪ / قدرت ماکریمم	قدرت مورد استفاده
پالس	نوع پرتو مورد استفاده
۳۰۰ هرتز و ۱/۷ میلی سکن	فرکانس و دیوریشن پالس
۴ میلی متر و ۱/۲۵۶ متر مربع	قطر و سطح مقطع پرتو

قبل از شروع دوره درمان، پوست سمت خارج قطب تحتانی بیضه چپ رت‌ها تراشیده و شسته شد و محیط این ناحیه توسط جوهر هندی مشخص گردید. به علاوه در آغاز هر جلسه درمانی نیز برای کاهش انعکاس پرتوهای لیزر ناحیه درمان مجددًا تراشیده و با الكل ۷۰ درصد تمیز شد. رتها به طریق مناسب و بدون وارد شدن استرس توسط یک دست ثابت شدند و تحریک نقطه‌ای لیزر را از طریق پراب که عمود بر مرکز حقیقی موضع مشخص شده و تا حد ممکن نزدیک پوست قرار داشت، دریافت نمودند. تابش لیزر از سن ۶۱ روزگی رتها آغاز و به مدت ۱۵ روز بین ساعت ۸/۵-۹/۵ صبح تکرار شد. در این تحقیق از ۲۵ درصد قدرت ماکریمم دستگاه استفاده و دانسیته انژی در هر جلسه درمانی برای گروههای شاهد و تجربی ۱ و ۲ ترتیب ۰ و ۱/۱۲ و ۳/۱۲ و ۱/۸۷ ژول بر سانتی متر مربع تعیین شد. به این ترتیب زمان تابش برای گروههای تجربی ۱ و ۲ توسط دستگاه و به طور اتوماتیک روی ۶۷ و ۱۱۷ ثانیه تنظیم شد. در مورد گروه کنترل نیز برای تحمل استرس مشابه، دیود به صورت خاموش و به مدت ۹۲ ثانیه استفاده گردید.

سیتوپلاسمی می‌شود و تغییرات فوق در اسپرماتوزوئیدها نقش تنظیمی در کنترل تحرک و واکنش اکروزومی دارد و پتانسیل باروری را در آنها می‌افزاید و در سلولهای دیگر سبب تشدید میتوز می‌شود [۸ و ۹]. از طرفی مطالعات *in vivo* نشان‌دهنده افزایش فعالیت استروئیدوژنیک سلولهای لیدیگ به دنبال تابش لیزر کم توان هلیوم - نئون به همراه لیزر مادون قرمز ۹۰۴ نانومتر است [۱۰]. مطالعاتی که توسط Bermudez در سالهای ۱۹۹۱ و ۱۹۹۳ در زمینه اثرهای فوری و تأخیری لیزر مادون قرمز ۹۰۴ نانومتر با دانسیته‌های ۴۶/۸۰ و ۲۸/۰۵ ژول بر سانتی متر مربع روی سیکل اپی‌تلیوم مجاری منی‌ساز صورت گرفته نیز بیانگر آن است که تابش لیزر تغییراتی را به صورت افزایش در محتوای DNA سلولهای جنسی ایجاد می‌کند که به سه فاکتور نوع سلول، فاز سیکل سلولی و دوز به کار رفته بستگی دارد [۱۱ و ۱۲].

ما نیز در گزارش قبلی خود با بررسی اپی‌تلیوم مجاری منی‌ساز پس از تابش لیزر کم توان گالیوم-آلومینیوم - آرسناید ۸۳۰ نانومتر در سطح LM نشان دادیم که تابش لیزر سبب القای تغییرات مورفولوژیک و مورفومتریک در اپی‌تلیوم می‌شود و این تغییرات ارتباط قطعی با دانسیته انژی به کار رفته دارد، به طوری که با به کار بردن دانسیته کلی $28/05\text{ J/cm}^2$ ، اثر تحریک زیستی لیزر به صورت افزایش در تعداد انواع سلولهای جنسی و با به کار بردن همین پرتوها با پارامترهای مشابه اما دانسیته کلی (J/cm^2) ۴۶/۸۰ آثار تخریبی روی اپی‌تلیوم مجاری منی‌ساز مشاهده شد [۱۲].

در هر حال، با توجه به اینکه تاکنون هیچ گزارشی در زمینه تغییرات کیفی سلولهای جنسی و سلولهای سرتولی پس از تابش لیزر به خصوص در سطح EM ارائه نشده است، در پاسخ به این سؤال که "آیا سلولهای تولید شده در اپی‌تلیوم مجاری منی‌ساز گروههای کنترل و تابش لیزر از ویژگیهای فراساختاری طبیعی و یکسانی برخوردارند؟" خلاصه مشخصی احساس می‌گردد. بنابراین در بررسی حاضر به بررسی دقیق‌تری در این زمینه بهویژه با روش TEM پرداخته شده است.

مواد و اوشتها

برای انجام تحقیق حاضر تعداد ۱۵ سررت نرشست

مجاری منی ساز به چشم می خورد که بیانگر تداخل تابش لیزر با روند طبیعی اسپر ماتوژنر بود. تغییرات فوق درجات متفاوتی از ریزش سلولهای جنسی به خصوص سلولهای اسپر ماتید گرد و نابالغ، بروز واکوئلهای متعدد با ابعاد متنوع ریز و درشت و اجسام رنگ پذیر فراوان به صورت کلاستر یا منفرد در درون سیتوپلاسم هر دو گروه سلولهای جنسی ریزش کرده به داخل لومن و سلولهای باقی مانده بر سطح اپیتلیوم مجاری منی ساز را شامل می شد. علاوه بر این؛ وجود تکه های سلولی قادر هسته در رأس اپیتلیوم و در داخل لومن مجاری منی ساز از موارد غالب توجه در این گروه بود. بسیاری از این تکه های سلولی ابعاد و اشکال متنوع و نامنظم و رنگ نسبتاً تبره ای داشتند، با این وجود در میان آنها تکه های سلولی گرد و روشن نیز به چشم می خورد. این تکه های سلولی نیز واکوئلهای اجسام رنگ پذیر و متراکمی را به صورت کلاستر یا منفرد دربرمی گرفتند (شکل ۲). در بررسی هیستولوژیک بیضه ها توسط میکروسکوپ الکترونی نیز، اپیتلیوم مجاری منی ساز گروه کنترل و گروه تابشی $28/05 \text{ J/cm}^2$ از ظاهر کاملاً طبیعی برخوردار بودند و حدود لایه های مختلف احاطه کننده مجاری منی ساز کاملاً واضح، تیغه قاعده ای منظم و قادر چین خوردنگی و مرز بین سلولهای میوئید و تیغه قاعده ای به وضوح قابل مشاهده بود. یک لایه منفرد از سلولهای سرتولی هر مجاری منی ساز را احاطه کرده، اتصالات همی دسموزوم تیپیکی با تیغه قاعده ای تشکیل می داد. هسته های لبوله و نامنظم سلولهای سرتولی با یک هستک واضح در موقعیت مرکزی تر از سلولهای اسپر ماتوگونی قرار داشت و محور هسته ها در جهت عمود بر تیغه قاعده ای واقع بود. در داخل سیتوپلاسم سلولهای سرتولی ارگانلهای گوناگونی از جمله میتوکندریهای درشت، دراز و باریک و اجاد کریستالهای طبیعی، شبکه اندوپلاسمی فراوان به صورت شبکه اندوپلاسمی صاف با اشکال توبولار و وزیکولار و شبکه اندوپلاسمی خشن به طور پراکنده، دستگاه گلزاری، لیزوژومهای هتروژن، واکوئلهای اتو فازیک و هترو فازیک، اجسام باقیمانده و انکلوزیونهای چربی مشاهده شد و بین سلولهای سرتولی کمپلکسهای اتصالی به وضوح قابل مشاهده بود.

نمونه برداری ۲۴ ساعت پس از آخرین جلسه تابش صورت گرفت. به این منظور رتها توسط دوز بالای اتر بیهوده شدند و با ایجاد برش روی اسکروتوم و فاسیاهای طناب اسپر ماتیک ثبوت بافت بیضه چپ توسط متدهای Simply organ fixation و با پروفیوژن گلوتارالدئید از طریق شریان تستیکولار حاصل و پس از برداشتن بیضه، نمونه هایی به ابعاد یک میلی متر از موضع تابش دیده جدا شد. سپس مراحل ثبوت اولیه توسط گلوتارالدئید $2/5$ درصد، ثبوت ثانویه با تتراکسید اسミوم ۱ درصد، آبگیری تدریجی، ارتشاع با رزین و قالبگیری قطعات بافتی انجام شد و پس از اصلاح قالبها عمل برشگیری توسط دستگاه اولترا میکروتوم صورت گرفته، برشهای نیمه نازک به ضخامت یک میکرون و برشهای فوق نازک به ضخامت ۳۵ تا ۵۰ نانومتر تهیه گردید. قابل ذکر است که برshaها از نواحی از بلوك بافتی تهیه شد که در آنها مجاری منی ساز مراحل VII و VIII سیکل سلولی به چشم می خورد.

برشهای نیمه نازک توسط تولوئیدین بلو و برشهای فوق نازک توسط استات یورانیل و سیترات سرب رنگ آمیزی و آماده بررسیهای هیستولوژیک شدند.

یافته ها

در مطالعات هیستولوژیک مقاطع نیمه نازک توسط میکروسکوپ نوری، بیضه های گروه کنترل و گروه تابشی ($28/05 \text{ J/cm}^2$) ظاهر طبیعی داشته، شامل مجاری منی ساز و بافت بینابینی طبیعی بودند. اپیتلیوم مجاری منی ساز کاملاً یکدست، قادر شکاف و عاری از هر گونه ریزش سلولی بوده، سلولهای جنسی و سرتولی را شامل می شد. در بررسی تصاویر مربوط به مراحل VII و VIII سیکل سلولی بیضه های این دو گروه در مقایسه با گروه تابشی ($46/80 \text{ J/cm}^2$) واکوئل چندانی در اپیتلیوم به چشم نمی خورد اما اجسام و گرانولهای متراکم که احتمالاً مربوط به اجسام باقیمانده فاگولیزوزومها در مراحل مختلف تجزیه بودند، به ویژه در گروه تابشی ($28/05 \text{ J/cm}^2$) به فراوانی قابل مشاهده بود (شکل ۱).

برخلاف دو گروه ذکر شده، در بیضه های گروه تابش با دوز کلی ($46/80 \text{ J/cm}^2$) تغییرات قابل ملاحظه ای در اپیتلیوم

طبیعی و کمپلکس‌های سیناپسی متعدد به وضوح قابل مشاهده بود، با این وجود سیتوپلاسم این سلولها نیز واکوئلهای متعددی رانشان داد.

بیشترین تغییرات فراساختاری در پی تابش دوز $46/80\text{J/cm}^2$ متوجه سلولهای اسپرماتید در حال تکامل بود. به نحوی که در سیتوپلاسم این سلولها علاوه بر بروز واکوئلهای متعدد، میتوکندریهای با اشکال کروی، متورم و فاقد کریستاهای طبیعی به چشم می‌خورد (شکل ۵). اختلال در مراحل اسپرمیوژن و عدم بلوغ طبیعی اسپرماتیدها نیز از یافته‌های قابل توجه دیگر در میکروگرافهای این گروه بود و برخی از اسپرماتیدهای گرد نابالغ در مراحل مختلف تکامل خود به درون لومن مجاری منی ساز آزاد شده بودند (شکل ۶). عدم تراکم کافی و مناسب هسته، عدم تجمع مناسب میتوکندریهای در نواحی تشکیل دم، ایجاد فاصله بین هسته و غشای داخلی اکروزوم و عدم تشکیل غلاف میتوکندریایی قطعه میانی دم از مواردی بود که در برخی از اسپرماتیدهای این گروه مشاهده شد. در دسته دیگری از اسپرماتیدها نیز هتروکروماتین شدید و چروکیدگی در هسته به چشم می‌خورد که بیانگر وجود تعداد فراوانی از اسپرماتیدهای دژنره در مجاری منی ساز این گروه بود.

در کنار موارد ذکر شده، در اپی‌تیلوم مجاری منی ساز این گروه اسپرماتیدهای غیرطبیعی و اجد اشکال دو سر یاسرهای متصل بهم و دمهای غیرطبیعی نیز مشاهده شد و به نظر می‌رسید که بیشترین درصد غیرطبیعی بودن در اسپرمهای این گروه در ناحیه دم و به خصوص قطعه میانی رخ داده است چراکه میتوکندریهای این ناحیه نه تنها از ظاهر طبیعی مارپیچی همانند گروههای قبل برخوردار نبودند و متورم و فاقد کریستا به نظر می‌رسیدند، بلکه تجمع آنها در برخی از مقاطع قطعه میانی دم نامناسب و پراکنده بود.

بحث

براساس نتایج پژوهش حاضر فراساختار سلولهای جنسی و سرتولی در اپی‌تیلوم مجاری منی ساز دو گروه کنترل و تابش لیزر با دوز کلی $28/05\text{J/cm}^2$ کاملاً مشابه یکدیگر و پدیده

اسپرماتوگونی‌ها در بخش قاعده‌ای اپی‌تیلوم بر روی تیغه قاعده‌ای قرار گرفته بودند و سلولهای اسپرماتید نیز به طور طبیعی و با آرایش خاصی در اپی‌تیلوم مشاهده شدند. بلوغ اسپرماتیدها در مجاری منی ساز این گروه از روند طبیعی برخوردار بود، به طوری که اسپرماتیدهای مجاری مختلف مراحل متنوع فازگلزی، فاز کلاهکی، فاز اکروزومی و تشکیل کلاهک اکروزومی را نشان می‌دادند. علاوه بر این در اسپرماتیدهای مختلف تشکیل منشت توبول، طویل شدگی اسپرماتید، مراحل تشکیل دم و تجمع میتوکندریها جهت تشکیل غلاف میتوکندریایی قطعه میانی دم اسپرم به چشم می‌خورد و قابل ذکر است که میتوکندریهای سلولهای جنسی این گروهها، حاوی کریستاهای طبیعی بودند. در بخش سطحی اپی‌تیلوم مجاری منی ساز دو گروه فوق سراسپرماتیدهای بالغ به صورت فرورفته در رسنهای سیتوپلاسم سلولهای سرتولی و در سیتوپلاسم این نواحی تجمع لیزوژومها، گرانولهای رنگ‌پذیر و شبکه اندوپلاسمی صاف مشاهده شد (شکل ۳).

بر خلاف دو گروه ذکر شده که در یک جمع‌بندی کلی از ماهیت فراساختاری طبیعی در اپی‌تیلوم مجاری منی ساز برخوردار بودند، در مجاری منی ساز گروه تابشی ($46/80\text{J/cm}^2$) تغییرات چشمگیری حدث‌گشت (شکل‌های ۴، ۵ و ۶). در این گروه تیغه قاعده‌ای نسبتاً ضخیم، نامنظم و غیر یکنواخت بود. سلولهای اسپرماتوگونی تغییر فراساختاری قابل توجهی را نشان ندادند اما در سلولهای دیگر اپی‌تیلوم، تغییرات اساسی مشاهده شد.

مهمنترین تغییرات قابل ذکر در سلولهای سرتولی این گروه وقوع واکوئلهای بزرگ و متعدد، انکلوزیونهای چربی و لیزوژومها به خصوص لیزوژومهای ثانویه فراوان در سیتوپلاسم بود، به طوری که در برخی از مناطق کلاسترها ایی از لیزوژوم مشاهده شد. میتوکندریهای سلولهای سرتولی این گروه مثل دو گروه قبل حاوی کریستاهای طبیعی بودند. سیتوپلاسم سلولهای سرتولی بین سلولهای جنسی مشاهده شد و رسنهای بخش رأسی آنها اسپرماتیدهای طویل بالغ را در بر می‌گرفت.

در اسپرماتوسیت‌های اولیه این گروه هسته‌های با ظاهر

ناشی از الیگو اسپرمی و آزو اسپرمی بهره برد. به علاوه با توجه به گزارشهایی که در زمینه افزایش حرکت اسپرم پس از تابش لیزر کم توان در محیط کشت در دست است [۵ و ۶ و ۷]، بررسی تأثیر تابش دوزهای پایین لیزر کم توان، به صورت *in vivo* در مواردی نظیر استنتو اسپرمی نیز جالب توجه است. از طرفی با توجه به تغییرات تخریبی القا شده در اپی تلیوم مجاری منی ساز به دنبال تابش لیزر با دوز کلی $46/80\text{ J/cm}^2$ که به صورت تغییرات فراساختاری در غشای پایه، سلولهای سرتولی و سلولهای جنسی بروز نمود، می‌توان چنین اظهار کرد که تابش لیزر کم توان با دوزهای بالا، از نظر تأثیر کمی و کیفی بر اپی تلیوم مجاری منی ساز، در نقطه مقابل دوزهای تابشی پایین قرار دارد و به نظر می‌رسد که دوزهای بالای انرژی لیزر از این جنبه مشابه دیگر اشعه‌های مخرب نظیر اشعه X و میکروویو عمل می‌نمایند. لذا ضرورت دقت و احتیاط در استعمال دانسیته‌های متفاوت تابش لیزر برای مقاصد درمانی ناگفته پیداست و تعیین آستانه تحریک زیستی تابش در این موارد از اهمیت به سزایی برخوردار است.

ما در گزارش قبلی خود به توجیه مکانیسم مولکولی آثار وابسته به دوز لیزر از دیدگاه Karu پرداختیم، از طرفی به علل احتمالی دخیل در ریزش پاتولوژیک سلولهای جنسی پس از تابش دوزهای لیزر اشاره نمودیم [۱۲]. اکنون در تحقیق حاضر برای تعیین دیگر آثار نامطلوب دوزهای بالای لیزر و مکانیسم ایجاد آنها، در باره تغییرات کیفی و فراساختاری اپی تلیوم پس از تابش لیزر گالیوم آلومینیوم آرسناید 830 nm بحث شده است.

طبق نتایج بررسی حاضر بیشترین تغییرات هیستولوژیک متوجه گروه تابشی $46/80\text{ J/cm}^2$ بود و عمدتاً تغییرات در گروه فوق شامل موارد زیر بودند:

- ۱- در این گروه تیغه قاعده‌ای نسبتاً ضخیم، نامنظم و غیریکنواخت به نظر می‌رسید.
- ۲- سلولهای اسپرماتوگونی تغییر فراساختاری خاصی را نشان ندادند، به این ترتیب به نظر می‌رسد که سلولهای اسپرماتوگونی در برابر آثار تخریبی دوزهای بالای لیزر مقاومت باشند. این عقیده ما برخلاف بیانات Bermudez است که

اسپرماتوژن در آنها از روند طبیعی برخوردار بود، در حالی که اپی تلیوم مجاری منی ساز گروه تابشی $46/80\text{ J/cm}^2$ تغییرات هیستولوژیک و فراساختاری شدیدی را نشان داد که حاکی از اثر تخریبی این دوز بر اپی تلیوم منی ساز فوق بود. این نتایج از جهت تأیید ارتباط منطقی بین دانسیته انرژی تابشی لیزر و تغییرات کیفی القا شده در اپی تلیوم مجاری منی ساز کاملاً موافق با یافته‌های پیشین ما [۱۲] و نیز تأییدی در جهت یافته‌های Brmudez و Karu است که یک نقش تحریکی برای تابش لیزر بانورهای پایین نشان داده‌اند [۱].

ما در مطالعه پیشین خود برای بررسی اثر تحریک زیستی لیزر گالیوم - آلومینیوم - آرسناید 830 nm بر اپی تلیوم مجاری منی ساز در رت به مطالعه مورفو‌لولوژیک و مورفومتریک بیضه در سطح Lm پرداخته، نشان دادیم که تابش لیزر سبب القاء تغییرات کمی و کیفی در اپی تلیوم مجاری منی ساز می‌شود و این تغییرات ارتباط قطعی با دوز انرژی به کار رفته دارد به طوری که با به کار بردن دوز کلی $28/05\text{ J/cm}^2$ اثر تحریک زیستی لیزر گالیوم - آلومینیوم - آرسناید 830 nm بر روند اسپرماتوژن مشاهده شد و این تغییرات در قالب افزایش ضخامت و سطح اپی تلیوم و افزایش تعداد سلولهای جنسی به ویژه سلولهای پاکی تن و اسپرماتید طویل بالغ در بررسیهای مورفو‌متریک و ظاهر طبیعی اپی تلیوم در بررسیهای هیستولوژیک بروز کرد. بر عکس با به کار بردن دوز کلی $46/80\text{ J/cm}^2$ آثار تخریبی لیزر روی اپی تلیوم مجاری منی ساز مشاهده شد و این اثرها به صورت شکاف در اپی تلیوم، ریزش سلولهای جنسی نابالغ به داخل لومن مجاری و حذف آنها به درجات مختلف و کاهش ضخامت اپی تلیوم بروز کرد [۱۲]. به این ترتیب، با در نظر گرفتن نتایج پیشین مبنی بر افزایش تعداد سلولهای جنسی به ویژه سلولهای پاکی تن و اسپرماتید طویل بالغ، به دنبال تابش لیزر با دوز $28/05\text{ J/cm}^2$ [۱۲] و نیز با توجه به طبیعی بودن فراساختار انواع سلولهای جنسی و سلولهای سرتولی در این گروه می‌توان دریافت که تابش لیزر با دوز $28/05\text{ J/cm}^2$ واجد اثر تحریکی و مثبت بر روند اسپرماتوژن است. به عبارتی این امکان وجود دارد که بتوان از دوزهای پایین انرژی لیزر در درمان برخی از انواع عقیمی‌های

سیتوپلاسم و نواحی بین سلولی بودند. به علاوه میتوکندریهای آنها برخلاف میتوکندریهای مشاهده شده در سلولهای سرتولی هر سه گروه و سلولهای اسپرماتید دو گروه دیگر، غیرطبیعی به نظر می‌رسیدند، چرا که اکثر آنها کروی، بزرگ، متورم و فاقد کریستالهای طبیعی بودند.

اختلال در مراحل اسپرمیوزن نیز از یافته‌های قابل ذکر دیگر در این گروه بود، به طوری که در لومن برخی از مجاری منی‌ساز ریزش سلولهای اسپرماتید نابالغ در مراحل تکاملی مختلف مشاهده می‌شد و در دسته دیگری از اسپرماتیدها نیز هسته به شدت هتروکروماتین و چروکیده شده و تغییرات دژنراتیو شدیدی در آن به چشم می‌خورد.

برای بیان تغییرات مشاهده شده در سلولهای جنسی ذکر چند نکته خالی از لطف نیست. محققین در یافته‌اند که اشعه لیزر می‌تواند یک آسیب تدریجی شدید به سلولها وارد نماید. به عنوان مثال Shepanek اظهار می‌دارد که ۳۰ روز پس از تابش لیزر به شبکیه و عنبه، یک لیز شدگی در هسته‌های سلولی و ضایعات آتروفیک رخ می‌دهد که نه تنها به انرژی خروجی بلکه به طول موج پرتو پستگی دارد [۱۴]. از طرفی واکئولیزیشن سیتوپلاسم، مهار فعالیت میتوزی و مرگ سلولهای Hela در محیط کشت به دنبال دوزهای بالای نور قرمز لیزر هلیوم - نئون مشاهده شده است [۱۵]. به نظر می‌رسد که این یافته‌ها تا حدی مشابه آثار مشاهده شده در تابش لیزر با دوز $46/80\text{ J/cm}^2$ در بررسی حاضر باشند.

یکی از مواردی که جالب توجه به نظر می‌رسد، این است که Burgers و Hugon در مطالعات EM دژنراسیون اسپرماتوگونی‌ها به دنبال تحت تابش قرار گرفتن موش با اشعه X گزارش کردند که اولین تغییرات شامل دیلاته شدن SER، بزرگ شدن میتوکندریها و تورم غشای هسته است [۱۶]. گرچه تشابه بین آثار تحریبی اشعه X و دوزهای بالاتر لیزر مجہول بوده و تحقیقات وسیعتری را می‌طلبد، به نظر می‌رسد که بروز واکوئلهای در سیتوپلاسم سلولهای اسپرماتید و بزرگ و متورم شدن میتوکندریها در سلولهای فوق طی تابش $46/80\text{ J/cm}^2$ تا حدی با یافته‌های فوق قابل مقایسه باشد.

Huckins دو مکانیسم را برای تبیین علت دژنره شدن

ادعا کرد "حساسیت سلولهای جنسی به اشعه لیزر بسیار شبیه به حساسیت آنها به اشعه X است و بنابراین باید انتظار داشت که اسپرماتوگونی‌ها حساسترین و اسپرماتیدها مقاوم‌ترین سلولها باشند" [۱۱]. البته با توجه به اینکه سلولهای اسپرماتوگونی با طول عمر کوتاهتر نسبت به سلولهای دیگر، کمتر در معرض تابش لیزر قرار می‌گیرند، احتمال تغییرات تحریبی در فراساختار آنها ضعیفتر به نظر می‌رسد و نتیجه حاصل از این بررسی منطقی است.

۳- در سلولهای سرتولی این گروه تغییرات فراساختاری قابل ملاحظه‌ای نظیر بروز واکوئلهای بزرگ، واکوئلهای چربی الکترون شفاف فراوان و کلاسترها وسیعی از لیزوژوم در سیتوپلاسم به چشم می‌خورد. یافته‌های فوق مبین این امر است که فعالیت فاگوسیتوزی در این سلولها نسبت به دو گروه قبل از شدت بالاتری برخوردار بوده است. فعالیت فاگوسیتوزی در ارتباط با حذف سلولهای جنسی دژنره و اجسام باقیمانده است. محققین نشان داده‌اند که اجسام باقیمانده رها شده در مراحل I و II سیکل اپی‌تیلیوم مجاری منی‌ساز توسط سلولهای سرتولی فاگوسیتوز شده و به واکوئلهای چربی الکترون شفاف تبدیل می‌شوند، بنابراین واکوئلهای فوق از مرحله I تا III افزایش می‌یابد و در طی مراحل IV و V کاهش نشان می‌دهد. در مردان پیرتر نسبت واکوئلهای چربی الکترون شفاف به سیتوپلاسم سلول سرتولی $1/2-1/9$ برابر بیشتر از بالغین جوان است و این یافته‌ها احتمالاً در ارتباط با دژنره شدن بیشتر سلولهای جنسی در افراد مسن است [۱۳].

افزایش واکوئلهای چربی الکترون شفاف در نمونه ما نیز احتمالاً در ارتباط با افزایش دژنره شدن سلولهای جنسی و فاگوسیتوز آنها توسط سلولهای سرتولی است و مشاهده اسپرمهای دژنره و کلاسترها وسیع لیزوژوم در اپی‌تیلیوم بیضه‌های این گروه خود تأییدی بر این ادعا است.

۴- سلولهای اسپرماتوسیت اولیه ظاهر نسبتاً طبیعی داشته، تنها تفاوت آنها با دو گروه دیگر بروز واکوئلهای شفاف متعدد در سیتوپلاسم آنها بود.

۵- سلولهای اسپرماتید در این گروه تغییرات نسبتاً شدیدتری را نشان دادند. این سلولها حاوی واکوئلهای فراوان در

Hillenkamp نیز با بررسی تأثیر تابش لیزر مادون قرمز بر بیضه به این نتیجه دست یافت که تابش لیزر مادون قرمز اغلب توسط آب موجود در بیضه جذب می‌شود و گرمای موضعی ایجاد نمی‌کند [۱۷]. لذا نمی‌توان دژنره شدن سلولهای جنسی را به دنبال تابش لیزر به افزایش دمای بافت بیضه نسبت داد. از طرفی با توجه به گزارش‌هایی که در زمینه ایجاد پرخونی در تخدمانها به دنبال تابش لیزر کم توان [۱۵]، خاصیت رگزایی لیزر کم توان [۲] و تغییر در بستر عروقی، پیچ و خم‌دار شدن و افزایش سطح مقطع عروق ریز داخل تخدمان به دنبال تابش لیزر [۱۸] وجود دارد، حتی می‌توان این احتمال را مطرح کرد که تابش لیزر با دوز $28/0.5$ ژول بر سانتیمتر مربع در تحقیق حاضر نیز از طریق بهبود گردش خون در ناحیه تابش علاوه بر اینکه از طریق دور کردن گرمای احتمالی نقش مهمی در کنترل و حفظ دمای بیضه ایفا می‌نماید، می‌تواند در بهبود متابولیسم سلولی و دفع مواد زاید منطقه و بروز آثار biostimulatory نقش بهسزایی داشته باشد.

ما در گزارش پیشین خود به احتمال تأثیر متضاد تابش لیزر با دانستیتهای متفاوت روی سلولهای لیدیگ، ترشح تستوسترون، پدیده اسپرماتوژنر و به ویژه اسپرمیوژنر اشاره نمودیم [۱۶]. در این تحقیق نیز یادآور می‌شویم که نقش هورمون تستوسترون می‌تواند به عنوان یک توجیه احتمالی برای تخریب سلولهای جنسی پس از تابش دوزهای بالای لیزر مد نظر واقع شود. Kerr در سال ۱۹۹۳ به دنبال مشاهده پاسخ مورفوЛОژیک سلولهای سرتولی در اثر حذف نسبی یا کامل تستوسترون در رتهای بالغ، بروز سلولهای جنسی در حال دژنره و واکوئلهای بی‌شماری را در موقعیت قاعده‌ای اپی‌تیلوم در مراحل VII و VIII سیکل اپی‌تیلوم اعلام نمود. در بررسی حاضر نیز اگر بپذیریم که تابش لیزر با دوز بالا یعنی $46/8.0\text{J/cm}^2$ اثر تخریبی برای سلولهای لیدیگ داشته باشد، علت دژنره شدن سلولهای جنسی و بروز حداقل برخی از واکوئلهای در سلولهای سرتولی تا حدی قابل توجیه است. در هر حال برای اخذ چنین نتیجه‌گیری بررسیهای بعدی در زمینه تأثیر تابش لیزر کم توان گالیوم - آلمینیوم - آرستاید 830 نانومتر با دوزهای مختلف بر سلولهای لیدیگ ضروری است.

سلولهای اسپرماتوگونی در روند اسپرماتوژن مطرح نموده است. وی معتقد است که دژنراسیون مکانیسمی برای کاهش هسته‌های با ناهنجاری‌های کروموزومی است و احتمال دیگر این است که دژنراسیون مکانیسمی باشد که سبب می‌شود تنها تعداد مناسبی از سلولهای جنسی که می‌توانند توسط سلولهای سرتولی حمایت و نگهداری شوند، در یک جانور معین رشد نماید [۱۶].

Bermudez و همکارانش نیز در پی بررسی تأثیر لیزر مادون قرمز 904 نانومتر با دوزهای $28/0.5$ و $46/8.0$ ژول بر سانتیمتر مربع بر سیکل اپی‌تیلوم مجاری منی‌ساز، با مشاهده افزایش نسبت اسپرماتوسیت‌های اولیه با محتوای DNA بیش از $2cDNA$ و نیز اسپرماتیدهای با محتوای $2cDNA$ که 5 درصد اسپرماتیدها را تشکیل می‌دادند، احتمال وجود تعداد بیشتری از گامت‌های غیرطبیعی را پس از تابش لیزر مطرح نمودند. به علاوه طبق پیشنهاد آنها با وجود اینکه میوز یکی از سه نقطه بحرانی برای دژنره شدن سلولهای جنسی در روند اسپرماتوژن است، برخی از اسپرماتوسیت‌های اولیه غیرطبیعی قادرند که تا پایان اسپرماتوژن دیفرانسیه شده و اسپرماتیدهایی را ایجاد کنند که قدرت باروری آنها مورد تردید است. از طرفی اکثر این سلولها می‌توانند بعداً دژنره شوند، چراکه اسپرماتیدهای طویل شده فقط محتوی $cDNA$ هستند [۱۱ و ۱۱]. با توجه به بیانات فوق می‌توان حدس زد که ناهنجاری کروموزومی می‌تواند یکی از دلایل افزایش دژنراسیون سلولهای جنسی به دنبال تابش لیزر با دوز کلی $46/8.0\text{J/cm}^2$ در تحقیق حاضر باشد؛ گرچه احتمال ناکافی بودن حمایت سلولهای سرتولی از سلولهای جنسی برای بقای این سلولها، نقش گرمایی پرتوهای لیزر و نقش مؤثر تستوسترون نیز در این زمینه قابل طرح است.

می‌دانیم که افزایش درجه حرارت بیضه از عوامل مسبب ایجاد اختلال در روند اسپرماتوژن است. در تحقیق حاضر درجه حرارت اسکروتوم اندازه‌گیری نشد، اما محققین پیش از ما تغییر درجه حرارت را در اثر تابش لیزر نفی کردند. به عنوان مثال گزارش شده است که به طور کلی در همه انواع لیزرهای کم قدرت انرژی ایجاد شده کمتر از میزانی است که حرارت قابل درکی ایجاد نماید [۲].

احتمال ایجاد اسپرم‌های بی‌حرکت تحت تأثیر دوزهای بالای لیزر وجود دارد و به نظر می‌رسد که تابش دوزهای بالای لیزر از این دیدگاه نیز تا حدی با تابش‌های مخربی نظیر میکروویوها و پرتوهای یونیزان X مشابه باشند. چراکه در پی تابش‌های مکرر شغلی با میکروویو، کاهش معنی‌داری در جمعیت اسپرم‌ها، درصد اسپرم‌اتوزوئیدهای متحرک و اسپرم‌های با مورفولوژی طبیعی گزارش شده است [۱۹]. تابش مکرر اشعه X نیز به واسطه شغل خاص موجب کاهش در کیفیت اسپرم و افزایش در فراوانی اسپرم‌های بی‌حرکت می‌شود [۱۹].

در انتها خاطر نشان می‌شود که استناد به آثار تحریکی زیستی تابش دوزهای پایین انرژی لیزر به صورت *in vivo* برای مقاصد درمانی نظیر آزو اسپرمی، الیگو اسپرمی و آستنو اسپرمی نیاز به بررسیهایی در ابعاد گسترده دارد و به نظر می‌رسد که لیزر درمانی جایگاه درخشانی را در آینده کلینیکها و پاراکلینیکها به خود اختصاص خواهد داد.

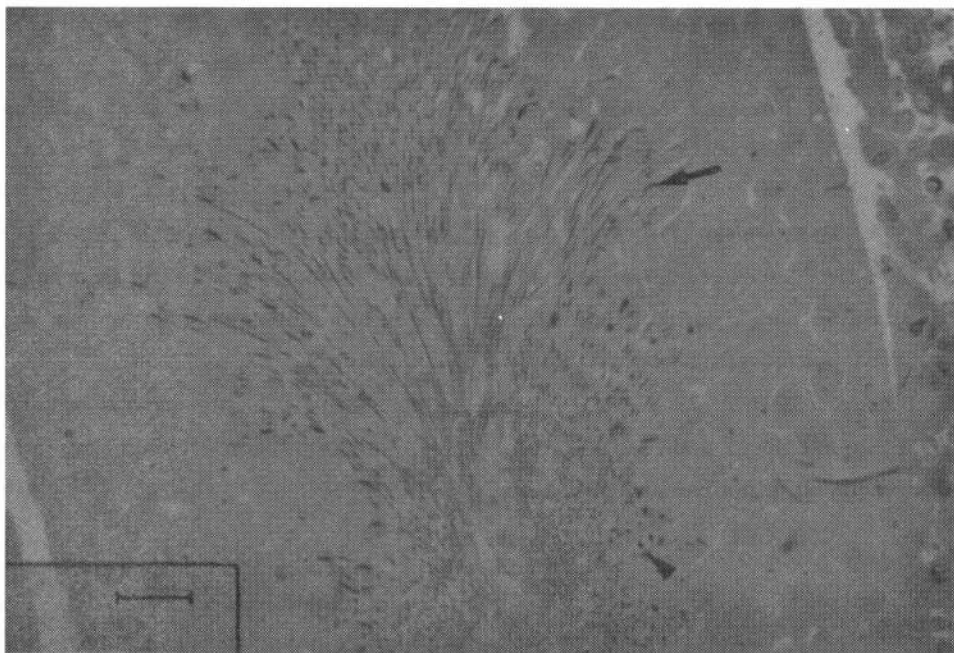
علاوه بر دژنره شدن سلولهای اسپرماتید که به بیان آن پرداخته شد، وقوع گامتهای غیرطبیعی از مواردی بود که در اپی‌تلیوم مجاری منی ساز گروه تابشی $46/80\text{ J/cm}^2$ یافت شد. گرچه در اپی‌تلیوم این گروه ناهنجاری‌های متعددی نظیر عدم تشکیل دم‌اسپرم با تجمع نامناسب میتوکندریهای در ناحیه تشکیل دم و فقدان غلاف میتوکندریابی در قطعه میانی دم، عدم تراکم کافی و مناسب هسته، ایجاد فاصله بین هسته و غشای داخلی اکروزوم و اسپرم‌های دو سره به چشم می‌خورد؛ اما به نظر می‌رسید که بیشترین ناهنجاری در ناحیه دم و به خصوص در قطعه میانی آن رخ داده است. چراکه نه تنها تقریباً میتوکندریهای تمام اسپرم‌ها از ظاهر طبیعی برخوردار نبوده، متورم و فاقد کریستا به نظر می‌رسیدند بلکه در مقاطع میانی دم اسپرم ظاهر مارپیچی مشاهده شده در اسپرم‌های طبیعی گروههای دیگر را نداشتند.

با توجه به بیانات ذکر شده و با توجه به غیرطبیعی بودن میتوکندریها و اینترمالیتی‌های مشاهده شده در ناحیه دم اسپرم،

References

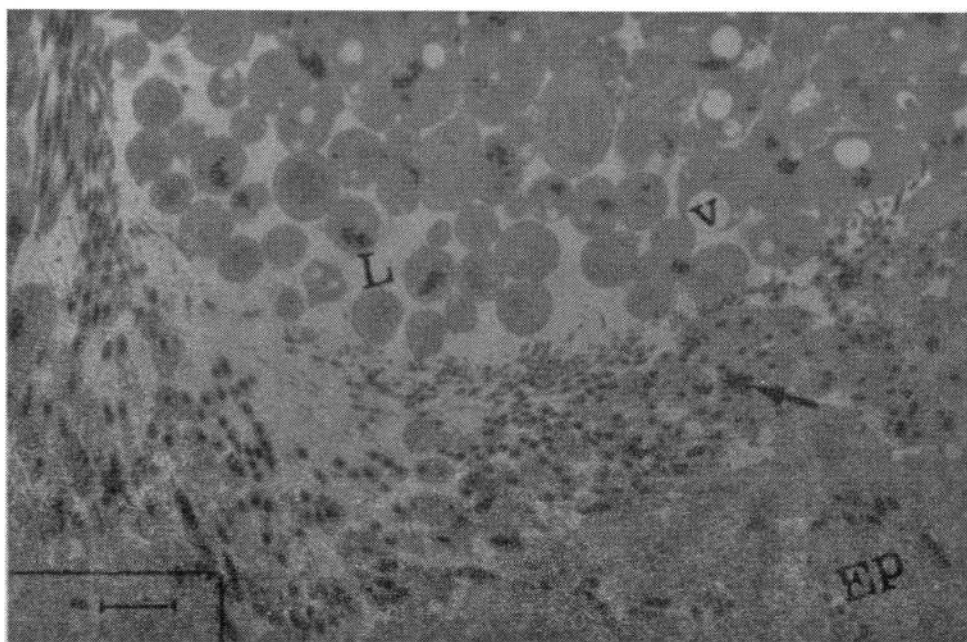
1. Bermudez D, Carrasco F, Vargas IP. Effect of laser radiation on germ cell DNA content after one cycle of seminifersus epithelium. Arch Androl. 1993; 37: 177-181
2. Kert J, Rose L. Clinical laser therapy, low level laser therapy. Scandinavian Med Technol. 1989
3. Kitchen S, Bazin S. Clayton's electrotherapy. 10th edition. WB saunders compny Ltd. 1996; 167-217
4. Loevschall H, Bindslev DA. Effect of low level diode laser irradiation of human oral mucosa fibroblasts in vitro. lasers Surg Med. 1994; 14: 347-354
5. Singer R, Sagiv M, Barnet M, Levinsky H, segenreich E, Fuchs B, Mendes E. Low energy narrow band non-coherent infrared illumination of human semen and isolated sperm. Androl. 1991; 23: 181-184
6. Sato H, Landthaler M, Haina D, Schill WB. The effects of laser light on sperm motility and velocity in vitro. Androl. 1984; 16(1): 23-25
7. Kovalev EV. The effects of low - intensity laser radiation on spermatogenesis in men. Vopr Kurortol Fizioter Lech Fiz Kult. 1990; 5: 33-36
8. Cohen N, lubart R, Rubinstein S, Breitbart H. Light rradiation of mouse spermatozoa: stimulation of in vitro fertilization and calcium signals. Photochem Photobiol. 1998; 68(3): 407-413
9. Lubart R, Friedmann H, Levinthal T. Effect of light in calcium transport in bull sperm cells. J Photochem Photobiol B Biol. 1992; 15: 337-341
10. Celani MF, Gilioli G, Montanini V, Morrama P. Further evidenc that mid laser radiaions may stimulate leydig cell steroidogenesis. IRCS Med Sci. 1985; 13: 336-337
11. Bermudez D, carrasco F, Diaz F, Vargas IP. Germ cell DNA quantification shortly aftr IR laser radiation. Andrologia. 1991; 23: 303-307
12. Fakhr Taha M, Rezazadeh M, Tiraihi T. To study the changes of seminiferous epithelium after Ga-Al-As laser radiation (830 nm). J Iranian Anat Sci. 2003; 1(2): 9-20
13. Paniagua R, Codesal J, Nistal MC, Rodriguez MC,

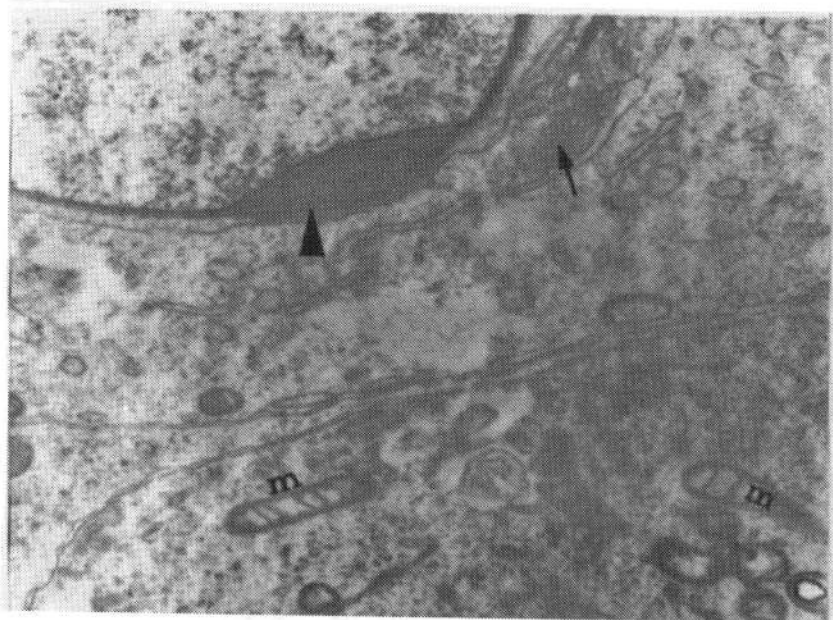
- Santamaria L. Quantification of cell types throughout the cycle of the human seminiferous epithelium and their DNA content. *Anat Embryol.* 1987; 176: 225-230
14. Shepanek NK, Kaplan BJ, Townsend D. In vitro cell changes in laser - exposed tissue. *Acta Cytol J.* 1980; 24: 244-246
15. Gregoraszczuk EWA, Dobrowolski JW, Galas J. Effect of low intensity laser beam on steroid dehydrogenase activity and steroid hormone production in cultured porcine granulosa cells. *Folia Histochemica Cytochemica.* 1983; 21(2): 87-92
16. Huckins C. The morphology and kinetics of spermatogonial degeneration in normal adult rats: An analysis using a simplified classification of the germinal epithelium. *Anat Rec.* 1978; 190: 905-926
17. Hillenkamp F. Interaction between laser radiation and biological systems. In: *Lasers in biology and medicine*, edited by Hillenkamp F, Pratesi R, Sacchi C.A. Plenum press. New York. 1980; pp 37-68
18. Chertok VM, Lubart R, Rubinstein, Breibart H. Light irradiation of mouse spermatozoa: Stimulation of invitro fertilization and calcium signals. *Photochem Phstobiol.* 1998; 68(3): 407-413
19. Lahdetie J. Occupation-and exposure-related studies on human sperm. *J Occup Environ Med.* 1995; 37(8): 922-930



◀ شکل ۱. هیستوگراف از بافت بیضه در گروه تابش با دوز 280J/cm^2 که اسپرماتیدهای طویل بالغ (↑) و اجسام الکترون متراکم (▲) فراوان را در سطح اپیتیلیوم نشان می‌دهد (رنگ‌آمیزی تولوئیدین‌بلو، بزرگنمایی $\times 400$).

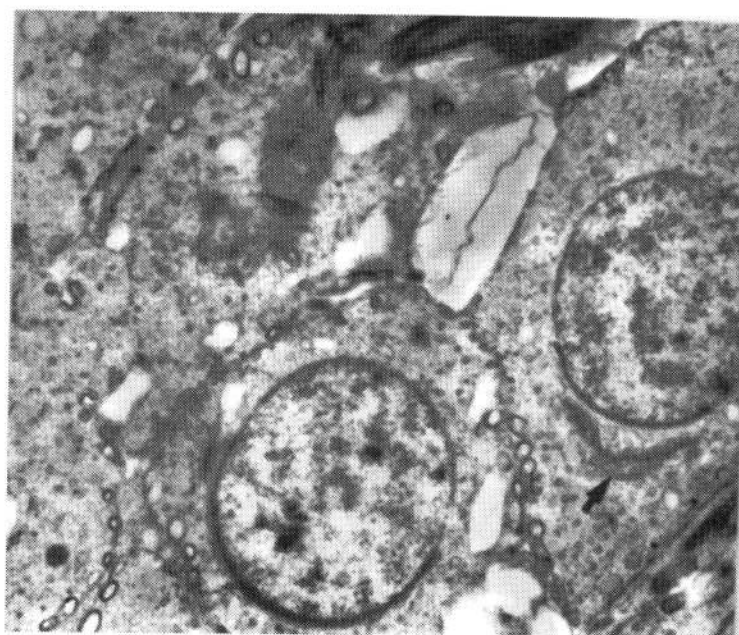
◀ شکل ۲. هیستوگراف از بافت بیضه در گروه تابش با دوز کلی 4680J/cm^2 که بخشی از اپیتیلیوم (EP) و ریزش سلولی شدید درون لومن (L) مجرماً منی‌ساز را نشان می‌دهد. اجسام الکترون متراکم بالغ (↑) و واکوئل فراوان (V) در داخل هر دوی سلولهای ریزش کرده به داخل لومن و سلولهای باقیمانده در اپیتیلیوم دیده می‌شود (رنگ‌آمیزی تولوئیدین‌بلو، بزرگنمایی: $\times 1000$).

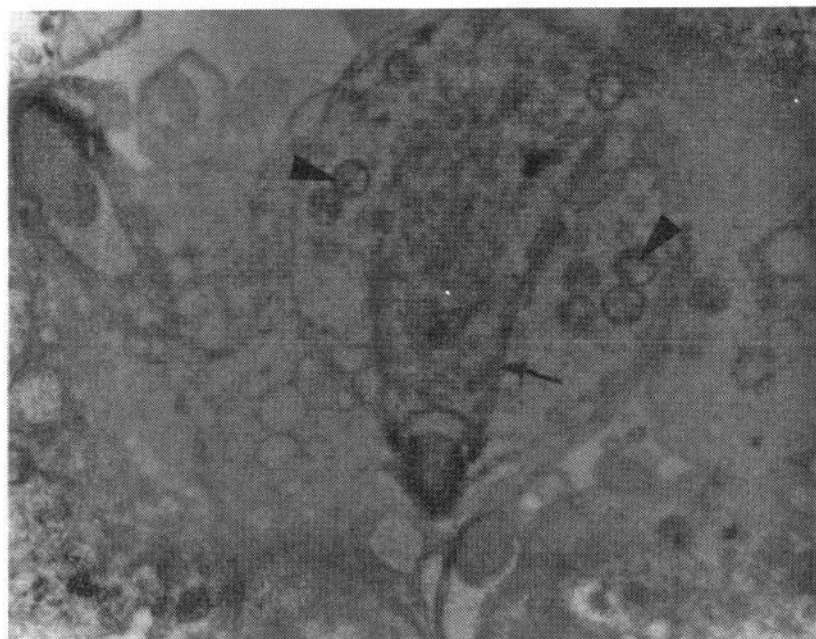




▲ شکل ۲. میکروگراف الکترونی از بیضه در گروه تابش با دوز کلی $28/0.5\text{J/cm}^2$ که بخش‌هایی از دو اسپرماتید مجار یکدیگر را نشان می‌دهد. در سمت بالای تصویر، تشکیل آکروزوم (▲)، کمپلکس گلژی (↑) در یک اسپرماتید و در پایین تصویر، میتوکندریهای طبیعی وجود کریستا (m) در اسپرماتید دیگر قابل مشاهده است (بزرگنمایی: ۱۸۰۰۰×).

▲ شکل ۳. میکروگراف الکترونی از بیضه در گروه تابش با دوز کلی $36/0.8\text{J/cm}^2$ که مراحل ابتدایی تشکیل آکروزوم را در اسپرماتید نشان می‌دهد. در درون سلولها کمپلکس گلژی (↑) و واکوئلهای شسته شده فراوان دیده می‌شود (بزرگنمایی: ۴۰۰۰×).





◀ شکل ۵. میکروگراف الکترونی از بخشی رأسی اپیتلیوم مجرای منی‌ساز در گروه تابش با دوز کلی $46/80\text{J/cm}^2$ که یک اسپرماتید را در مرحله تشکیل منشت توبول (↑) نشان می‌دهد. این اسپرماتید حاوی میتوکندریهای متورم، فاقد کریستو و غیرطبیعی (▲)، سانتریول، هسته و اکروزوم است و اثری از تشکیل دم به چشم نمی‌خورد (بزرگنمایی: $\times 10500$).

◀ شکل ۶. میکروگراف الکترونی از بیضه در گروه تابش با دوز کلی $46/80\text{J/cm}^2$ که ریزش سلولهای اسپرماتید گرد نابالغ (S) را به فضای لومن (L) مجرای منی‌ساز نشان می‌دهد (بزرگنمایی: $\times 3500$).

